

Explorando Descartes de Ativações de Tarefas Periódicas em Redes IEEE 802.15.4

Tiago Semprebom, Carlos Montez, Gustavo Zomer,
Victor Maryama, Frederico Jordan, Underlea Correa

DAS/UFSC - Depto Automação e Sistemas – Univ. Federal de Santa Catarina
{tisemp, montez, gzomer, maryama, jordam, underlea}@das.ufsc.br

Resumo IEEE 802.15.4 is a low power consumption wireless network. When operating in beacon-enabled mode, it divides the superframe in time slots, and real-time communication is possible by using the Guaranteed Time Slots. Other messages are sent by using CSMA/CA. This paper proposes a QoS provision approach for periodic applications that is based on the (m,k)-firm task model. The approach improves the slot allocation scheme and CSMA/CA algorithm. A set of experimental results is presented and compared with the standard approach.

Key words: IEEE 802.15.4, QoS, sistemas tempo real

1 Introdução

Avanços recentes em tecnologias de redes sem fios têm motivado seu emprego em sistemas de automação industrial, onde há restrições temporais. Neste contexto, tem surgido um número significativo de pesquisas dirigidas à provisão de qualidade de serviço (QoS) em redes sem fios [1,3,4]. Espera-se, em um futuro próximo, o surgimento de um padrão *de facto* para este tipo de rede em ambientes industriais, onde o IEEE 802.15.4 [5] passa a ser um forte candidato. Um dos motivos é decorrente do seu baixo consumo energético, o que possibilita o uso de dispositivos de comunicação, com tamanhos reduzidos, alimentados por baterias capazes de permanecerem ativas por longo tempo.

Este trabalho busca investigar características de tempo real do MAC do IEEE 802.15.4. Uma solução promissora seria através da alocação de compartimentos garantidos (GTS – *Guaranteed-Time Slot*). Entretanto, uma desvantagem dessa abordagem é que apenas sete compartimentos podem ser alocados para os dispositivos da rede. Este recurso escasso pode rapidamente exaurir-se e, como consequência, dispositivos que não conseguem alocar GTSs devem tentar realizar suas transmissões usando CSMA/CA. No entanto, o protocolo CSMA/CA não oferece qualquer suporte para aplicações de tempo real.

Trabalhos recentes têm mostrado que aplicações periódicas podem perder ocasionalmente algumas mensagens, desde que as perdas ocorram de forma esparsa [9,8]. Essas pesquisas resultam de um trabalho seminal na década de 1990 [7], o qual introduziu a noção de **deadline (m,k)-firm**. Este tipo de deadline define que a tarefa tolera a perda de até m mensagens (ou m deadlines)

em k ativações consecutivas antes de que ocorra uma falha. Em [7] também foi definido o conceito de conceito de **distância para falha** como a proximidade atual da tarefa do estado de falha. Este conceito pode ser usado para atribuir recursos (ou priorizar) às tarefas mais próximas do estado de falha, buscando reduzir (ou evitar) a quantidade de falhas do sistema.

Apesar desses trabalhos recentes – tanto em redes sem fio como em escalonamento tempo real – o fornecimento de QoS para aplicações tempo real em redes IEEE 802.15.4 ainda é um desafio. Este trabalho investiga abordagens para fornecimento de QoS para aplicações tempo real periódicas executando em nodos da rede, considerando o modelo de tarefas (m,k)-firm, no qual as tarefas com menores distâncias para falha têm suas mensagens priorizadas na rede (seja na alocação de compartimentos garantidos ou no acesso via CSMA/CA), buscando-se evitar falhas dinâmicas.

O restante deste artigo está organizado como segue: Na Seção 2, apresenta-se uma visão geral do padrão IEEE 802.15.4. Na Seção 3 descreve-se o modelo do sistema deste trabalho. A abordagem de escalonamento de GTS durante períodos sem contenção é discutida na Seção 4. Na Seção 5 apresenta-se uma abordagem de escalonamento descentralizada durante períodos de acesso com contenção. Finalmente, na Seção 6, são apresentadas as considerações finais.

2 Protocolo IEEE 802.15.4

O IEEE 802.15.4 [5] especifica a Sub-Camada de Acesso ao Meio (MAC) e a camada física para as LR-WPANs. O protocolo MAC suporta o modo de operação com *beacon*, onde estes são periodicamente gerados pelo coordenador com a finalidade de sincronizar dispositivos e identificar a PAN. Trocas de dados entre nodos são possíveis durante a duração de um superquadro (*SD* – *Superframe Duration*), o qual fica contido em um *BI* (*Beacon Interval*) e limitado por dois quadros de *beacon*. Um superquadro possui um período ativo, dividido em 16 compartimentos igualmente espaçados, e pode possuir um período inativo. O coordenador interage com outros nodos durante o período ativo, e entra em modo de economia de energia durante períodos inativos.

A porção ativa do superquadro é composta por três partes: *beacon*, *CAP* (*Contention Access Period*) e *CFP* (*Contention Free Period*). Todos os *Guaranteed-Time Slot* (GTS) devem ser alocados dentro do CFP. Um dispositivo que deseje se comunicar no CAP deve competir com outros dispositivos usando o CSMA/CA. A Figura 1 ilustra a estrutura do superquadro, onde o BI é o dobro do SD, contendo dois GTS alocados durante o CFP. A estrutura do superquadro é definida pelos parâmetros *macBeaconOrder* (BO) e *macSuperFrameOrder* (SO). Os cálculos de *BI* e *SD* são baseados em *aBaseSuperframeDuration* que denota o valor mínimo de duração do superquadro. Este valor corresponde a 15,36 ms, assumindo uma taxa de transmissão de 250 kbps e frequência de 2.4 GHz, a qual será considerado no restante deste trabalho.

O protocolo CSMA/CA utiliza três variáveis para escalonar o acesso ao meio. O **NB** corresponde ao número de vezes que o algoritmo CSMA/CA é solicitado

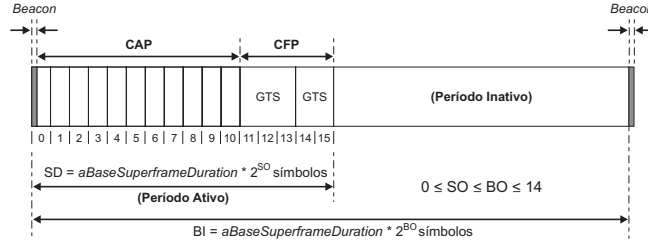


Figura 1. Estrutura do superquadro IEEE 802.15.4.

para entrar em *backoff* enquanto tenta acessar o canal. Caso o número de tentativas de acesso ao canal seja maior que $macMaxCSMABackoffs$, ocorre uma falha. O CW é o tamanho da janela de contenção, e define o número de períodos de *backoff* necessários para que o canal esteja disponível antes do início da transmissão. O BE é o expoente de *backoff*, valor relacionado com quantos períodos de *backoff* um dispositivo deve aguardar para tentar avaliar a atividade do canal. Esta variável é relacionada com a tentativa de evitar a colisão, e o tempo de envio obedece uma função de período aleatório definida por $[0, 2^{BE} - 1]$. A Figura 2 apresenta o fluxograma do CSMA/CA, melhor descrito em sua especificação.

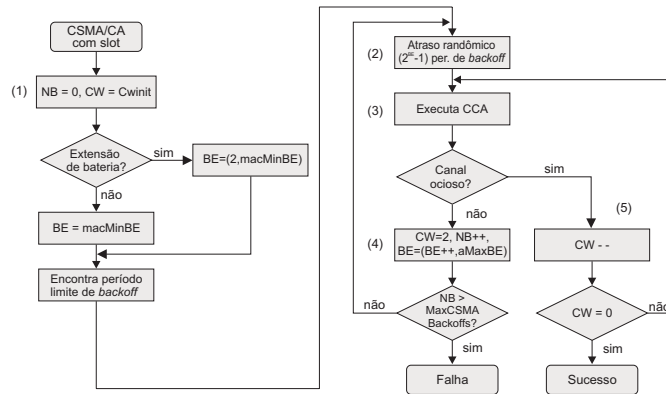


Figura 2. Algoritmo CSMA/CA com compartimento.

3 Modelo do Sistema

Para este trabalho, considera-se um cluster IEEE 802.15.4 composto por um conjunto de nodos sensores dentro da área de cobertura de um único nodo denominado Coordenador. Assume-se que o Coordenador inicializa a rede definindo a estrutura do superquadro através dos parâmetros BO e SO . Cada nodo sensor

i coleta uma variável do ambiente, processa e transmite a informação para o Coordenador que, por sua vez, confirma o recebimento da mensagem através do envio de um ACK para o nodo i . Cada dispositivo possui sua tolerância em perder algumas mensagens, conhecida em tempo de projeto, representadas na forma de restrições (m,k)-firm. O objetivo maior deste trabalho é respeitar as restrições de qualidade de serviço (m,k) de cada nodo i .

Formalmente, a abordagem pode ser descrita como segue. Um conjunto de N tarefas periódicas independentes pode ser representado como $\Gamma = \{\tau_1, \tau_2, \dots, \tau_n\}$. Cada tarefa é não preemptiva e caracterizada por uma 5-tupla $(T_i, D_i, C_i, m_i, k_i)$, onde T_i representa o período, D_i representa o deadline, C_i representa o tempo de execução e m_i e k_i representam as restrições (m,k)-firm da tarefa i ($1 \leq m_i \leq k_i$).

No caso específico no nosso modelo, uma tarefa periódica representa uma aplicação executando em um dispositivo da rede onde os períodos das tarefas são indicados pela periodicidade do superquadro. Quando uma tarefa não consegue realizar sua transmissão dentro do superquadro atual considera-se que esta teve um *deadline* perdido. O tempo de computação da tarefa representa o tempo de envio desta. Finalmente, conforme previamente mencionado, m_i e k_i representam as restrições (m,k)-firm para a tarefa τ_i , o qual ao menos m de qualquer janela de k ativações consecutivas de uma tarefa τ_i devem ter suas mensagens enviadas com sucesso, buscando evitar uma condição de falha dinâmica.

4 Abordagem de Escalonamento no CFP

Considerando uma rede IEEE 802.15.4, o modelo de tarefas (m,k)-firm pode ser utilizado para alocação de compartimentos no coordenador PAN. Desta forma, se existem mais do que sete solicitações de alocação de GTS no coordenador, e se cada requisição possui uma restrição (m,k)-firm associada, então o coordenador pode realizar um escalonamento destes compartimentos seguindo as restrições (m,k)-firm dos nodos, buscando evitar a ocorrência de falhas dinâmicas. Além disto, uma análise de escalonabilidade pode ser executada na chegada de uma nova requisição, para verificar a escalonabilidade do sistema, buscando prover garantias (m,k)-firm às aplicações. Uma nova requisição deve ser aceita pelo sistema somente se a aceitação desta não prejudicar a execução das outras previamente admitidas pelo sistema.

O algoritmo SDBP (Slotted DBP), proposto neste trabalho, provê garantias (m,k)-firm para os dispositivos que solicitam alocação de GTSs em duas fases. Na primeira fase (Algoritmo 1), quando uma nova requisição de GTS é recebida pelo coordenador um teste de admissão é executado (linha 2). Onde T é o período das tarefas e C é o número de slots solicitados (sem perda de generalidade, onde for omitido, será considerado neste texto $T = C = 1$). Caso a carga do sistema (já considerando a tolerância das tarefas aos descartes) exceda 100%, a solicitação de alocação de GTS é negada, e a tarefa que fez a requisição pode competir pelo acesso ao meio durante o período de acesso com contenção CAP. Caso contrário, a nova requisição é aceita, e esta é inserida na lista de requisições de GTS (lista L_i) no coordenador PAN.

Algorithm 1 Teste de admissão.

```

1: if a new GTS request  $i$  arrives then
2:   if  $\sum \left( \frac{m_i}{k_i} \frac{C_i}{T_i} \right) \leq 1$  then
3:     insert request in list  $L_i$ 
4:     admission_test = feasible
5:   else
6:     admission_test = unfeasible
7:   end if
8: end if

```

A segunda fase da abordagem proposta (Algoritmo 2) é composta por um mecanismo de escalonamento dinâmico de GTS. A cada superquadro, o algoritmo de escalonamento elege dinamicamente qual dispositivo receberá acesso garantido no superframe atual. O critério de seleção é baseado na distância para falha de cada tarefa, a qual depende dos requisitos de QoS informados por cada dispositivo na forma de restrições (m,k) -firm.

Algorithm 2 Escalonamento dinâmico.

```

1: for all superframe period do
2:   for all GTS request  $j$  do
3:     calculate  $d_j(k)$ 
4:   end for
5:   sort  $L_i$  in  $d_j(k)$  order
6:   allocate first GTS requests in  $L_i$  on superframe empty slots
7: end for

```

Uma forma simples de se calcular a distância para falha foi proposta por [7]. Neste caso, é necessária a manutenção de um histórico de atendimento recente de cada tarefa periódica que envia mensagens. Este histórico de execução é uma k -tupla que armazena as k execuções mais recentes de uma tarefa. Seja 0 e 1 a representação para perda e atendimento de um *deadline*, respectivamente. A cada fim de um superquadro um novo estado é produzido, o histórico é deslocado (da direita para esquerda) e o novo estado é adicionado na posição mais a direita. Por exemplo, uma tarefa com $k = 3$ e histórico “110” representa que a execução mais recente não teve sucesso.

Para uma tarefa j , é possível calcular a distância para falha $d_j(k)$: Seja $met_j(n, h)$ a posição (a direita) referente ao n^{th} *deadline* atendido no histórico h . Se existem menos que n 1s em h , então $met_j(n, h) = k + 1$. Por exemplo, $met_j(1, “011”) = 1$, $met_j(1, “010”) = 2$, $met_j(2, “101”) = 3$, $met_j(2, “001”) = 4$. Desta forma, utilizando esta função, a distância para falha é denotada por: $d_j(k) \leftarrow (k - met_j(m, h) + 1)$.

4.1 Simulações com Slotted DBP

Apesar do SDBP ter um teste de admissão, a simulação buscou também avaliar a abordagem em situações de sobrecarga, onde nem mesmo o SDBP consegue garantir as restrições (m,k) -firm dos nodos. O desempenho do Slotted DBP foi comparado com escalonamento FIFO utilizando pelo padrão IEEE 802.15.4. Utilizou-se um simulador desenvolvido em linguagem C¹. As simulações foram realizadas considerando um conjunto de tarefas (nodos) solicitando compartimentos, partindo de 7 para 21, assumindo que existem apenas sete compartimentos disponíveis em cada superquadro. Cada resultado obtido refere-se a uma média de 9000 execuções, cada uma composta por 2000 superquadros.

Em cada cenário de simulação assumiu-se que todas as tarefas possuem os mesmos valores de k . Esta é uma condição necessária para que o Slotted DBP ofereça garantias determinísticas às aplicações.

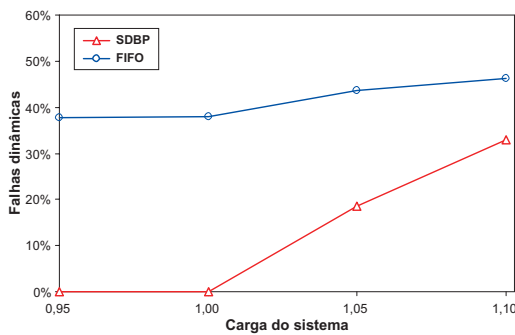


Figura 3. Falhas dinâmicas *vs.* utilização.

A Figura 3 claramente mostra que abordagem SDBP não falha quando a carga é menor ou igual a 1.0 (fator de utilização $\leq 100\%$), mesmo quando o número de requisições aceitas é maior que sete. Observou-se, também, que abordagem SDBP é inadequada em situações de sobrecarga onde a carga (fator de utilização) é maior que 1.0. A abordagem FIFO é completamente inadequada, mesmo em situações onde a carga do sistema é baixa. Os resultados acima indicam que abordagem SDBP não deve ser utilizada em condições de sobrecarga, na ausência de um teste de admissão determinístico. No entanto, ainda quando a carga no sistema é superior a 1.0, resultados demonstraram que a abordagem Slotted SBP é levemente melhor do que a abordagem FIFO.

5 Abordagem de Escalonamento no CAP

Uma das motivações para o desenvolvimento da abordagem que atua no CAP advém do fato que o protocolo CSMA/CA, oferecido pela especificação, não

¹ disponível em: http://www.das.ufsc.br/~tisemp/sight_simul/SIGHT.C

prevê mecanismos de provimento de QoS para eventos tempo real, incluindo solicitações de alocação de compartimentos, mensagens de alarme e comandos de controle da PAN, isso resulta na degradação do desempenho da rede. Além disso, como vimos na abordagem proposta na seção anterior, nodos que possuem mensagens que não foram alocadas no CFP precisam recorrer ao CAP.

Considerando a flexibilidade de algumas aplicações tempo real em tolerar descartes ou perdas de *deadline* sem falhar, e a necessidade de provimento de mecanismo de QoS para aplicações com restrições temporais no protocolo CSMA/CA em redes IEEE 802.15.4, esta proposta investiga mecanismos para priorização de tráfego tempo real, considerando o modelo de tarefas (m,k) -*firm*, onde tarefas que estejam com suas execuções próximas a um estado faltoso, recebem as maiores prioridades do sistema.

Diferentemente da abordagem anterior que atua no CFP, a abordagem de escalonamento CAP proposta nesta seção não oferece garantias. O objetivo é tentar reduzir falhas dinâmicas, priorizando as tarefas mais próximas da falha dinâmica. Nesta abordagem não há testes de admissão ou alocação de recursos (compartimentos). Apenas tenta-se distribuir o recurso (no caso, a banda da rede) de forma mais inteligente, priorizando-se as mensagens de tarefas mais próximas da falha.

Atualmente, alguns trabalhos têm contribuído com o intuito de reduzir a latência em redes de sensores sem fio. Particularmente, no caso do protocolo IEEE 802.15.4 algumas pesquisas têm procurado aprimorar o CSMA/CA proposto originalmente pela especificação, com a finalidade de oferecer garantias para as aplicações [2]. No entanto, diferentemente desses trabalhos, esta proposta busca atender requisições com restrições segundo o modelo (m,k) -*firm*. Neste sentido, foi proposto o algoritmo Distributed DBP (DDBP), o qual também foi construído sobre o conceito distância para falha.

O algoritmo DDBP (4) opera de forma descentralizada, executada em cada nodo da rede. Existem diversos outros trabalhos que propõem algoritmos de escalonamento considerando restrições (m,k) -*firm* das tarefas ([7]). No entanto, esses trabalhos consideram uma entidade central – um escalonador – que conhece o histórico de todas as tarefas e toma decisões baseadas em um conhecimento global do sistema.

No algoritmo Distributed DBP, após o envio de uma mensagem endereçada ao Coordenador, a heurística verifica o recebimento da mensagem pelo Coordenador PAN através de uma mensagem de reconhecimento ACK, sinalizando o atendimento de uma *deadline*. No entanto, caso um dispositivo não consiga efetuar sua transmissão dentro do atual superquadro, uma ocorrência de não atendimento de *deadline* é sinalizada (linha 3 na Figura 4)). Posteriormente, a distância para falha dos dispositivos é atualizada baseada na situação de atendimento dos *deadlines* (variável “atendeu”) e a prioridade do dispositivo é atualizada. Caso um dispositivo se encontre próximo à ocorrência de uma falha dinâmica ($d_j(k) = 1$) ou em uma falha dinâmica ($d_j(k) = 0$) este recebe a maior prioridade do sistema.

Como a especificação do IEEE 802.15.4 não prevê qualquer tipo de priorização de mensagens. Em nossa abordagem isso foi implementado através da

```

1  envia_mensagem();
2  evento(mensagem) { //Evento sinalizado após transmissão da mensagem
3      if(mensagem == FALHA_CSMA or mensagem == SEM_ACK)
4          atendeu = 0;
5      else
6          atendeu = 1;
7
8          distancia_falha = atualiza_distancia_falha(atendeu);
9          altera_prioridade(distancia_falha);
10 }

```

Figura 4. Algoritmo Distributed DBP (executado em cada nodo).

alteração de parâmetros do seu protocolo de comunicação (olhar Figura 2). Conforme sugerido em [2], utilizamos os parâmetros *macMinBE* e *macMaxCSMABackoffs* (Figura 2) para alterar a prioridade das mensagens. Resultados obtidos foram satisfatórios e são apresentados na próxima seção.

5.1 Simulações com Distributed DBP

O objetivo desta subseção é avaliar o impacto do Distributed DBP frente a abordagem convencional oferecida pelo padrão IEEE 802.15.4, o qual não oferece nenhum mecanismo de diferenciação de serviços entre os dispositivos que formam a PAN. Os estudos foram conduzidos através de análise experimental a partir de um cenário real. Utilizou-se o OpenZB² para avaliação da abordagem proposta neste trabalho. O OpenZB implementa a pilha de protocolos especificada pelo padrão IEEE 802.15.4, desenvolvido em NesC sobre o sistema operacional TinyOS.

A configuração do cenário de experimentos foi composta por onze nodos MicaZ³. Um destes nodos foi escolhido para ser o coordenador e três outros foram configurados para enviar mensagens periodicamente para o coordenador, contendo restrições (m,k)-firm. Os sete outros nodos restantes foram programados para enviar mensagens continuamente, emulando tráfego de segundo plano, objetivando sobrecarregar o meio de acesso. Os três nodos com restrições (m,k)-firm receberam valores de (m,k) iguais a $m = 2$ e $k = 3$. Estes nodos foram configurados para aguardar o recebimento de uma mensagem de confirmação (ACK) após o envio de uma mensagem.

Todos os nodos da rede enviam mensagens de 93 bytes – considerando um cabeçalho de 13 bytes. A estrutura do superquadro foi configurada utilizando os parâmetros $BO = 5$ e $SO = 4$ (então, com $BI = 491.5 ms$). Os nodos (m,k)-firm tiveram seus períodos fixados em 500 ms, o qual possuem quase o mesmo valor

² <http://www.open-zb.net/>

³ <http://www.xbow.com>

de BI. A carga externa imposta ao sistema foi implementada através do uso de nodos gerando mensagens com diferentes periodicidades.

Nos experimentos, a carga mínima imposta ao sistema foi 3%. Esta carga foi obtida considerando-se apenas as mensagens provenientes dos nodos com restrições (m,k)-firm, sem interferência dos nodos de carga de fundo. As outras cargas submetidas ao sistema, 12%, 20%, 36%, 48%, 61%, 70%, 84% e 104% foram obtidas variando a periodicidade das mensagens geradas pelos nodos de carga de fundo 500ms, 250ms, 125ms, 90ms, 70ms, 60ms, 50ms e 40ms, respectivamente. Para cada ponto de carga da rede, ao menos 10 ensaios foram realizados, utilizando a abordagem Distributed DBP ou a abordagem oferecida pela especificação IEEE 802.15.4. Cada ensaio teve duração de cerca de 60 segundos.

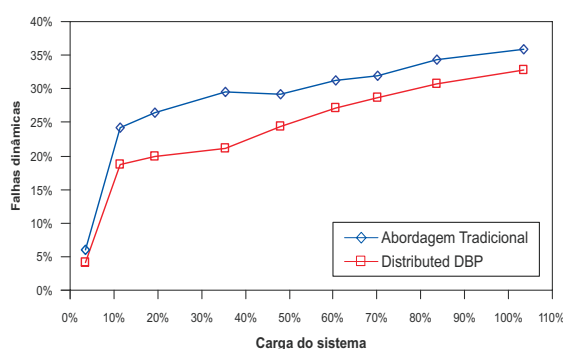


Figura 5. Falhas dinâmicas *vs.* utilização.

A Figura 5 apresenta os resultados experimentais comparando a abordagem DDBP e abordagem padrão. Pode-se verificar que existe uma diminuição no número de ocorrências de falhas dinâmicas adotando-se a abordagem proposta. Durante situações de sobrecarga moderadas as ocorrências de falhas dinâmicas permaneceram próximas a 20%. Em condições de sobrecarga severa, as ocorrências de falhas dinâmicas permaneceram próximas a 30%.

6 Conclusões

Devido aos problemas de confiabilidade e segurança em redes sem fio, sua adoção em ambientes industriais vem sendo lenta. No entanto, existe atualmente um forte interesse nesse sentido, o que reforça o interesse em pesquisas para provimento de QoS a suas aplicações. Por parte da comunidade de controle – a qual fornece suporte algorítmico para as aplicações que executam nos níveis mais baixos das plantas industriais –, há forte interesse no estudo do comportamento de alguns sistemas, mediante presença de descartes de mensagens e perdas de deadlines [8,9]. Além disso, a comunidade que investiga técnicas de escalonamento tempo real vem há algum tempo desenvolvendo abordagens de escalonamento

adaptativo, onde o modelo (m,k) -firm [7] recebe forte atenção. É neste contexto que este trabalho se insere.

As duas técnicas apresentadas neste trabalho mostraram que é possível melhorar o funcionamento de uma rede IEEE 802.15.4, com respeito a não ocorrência de falhas dinâmicas. Apesar de complementares, as duas técnicas de escalonamento no CFP e no CAP ainda não estão integradas em uma única abordagem. Este é a principal atividade na qual estamos trabalhando no momento.

Referências

1. J. P. Hespanha and P. Naghshtabrizi and Y. Xu: A Survey of Recent Results in Networked Control Systems. *Proc. of the IEEE*, vol. 95(1), p. 138–162, (2007).
2. A. Koubaa and M. Alves and B. Nefzi and Y.-Q. Song: Improving the IEEE 802.15.4 Slotted CSMA/CA MAC for Time-Critical Events in Wireless Sensor Networks. *Proc. of the 5th Int. Workshop on Real-Time Networks.*, p. 35–40, (2006).
3. F. D. Pellegrini and D. Miorandi and S. Vitturi and A. Zanella: On the use of wireless networks at low level of factory automation systems. In *Proc. of the IEEE on Ind. Informatics*, vol. 2(2), p. 129–143, (2006).
4. A. Willig: Recent and Emerging Topics in Wireless Industrial Communications: A Selection. In: *IEEE Trans. on Indust. Informatics*, pp. 102–124, vol. 4(2), (2008).
5. Part 15.4: Specifications for Low-Rate Wireless Personal Area Network (LR-WPAN): IEEE-SA Standards Board (802.15.4-2006).
6. L. Schenato and M. Franceschetti and S. S. Sastry: Foundations of Control and Estimation Over Lossy Networks. *Proc. of the IEEE*, p. 163–187, Vol. 95(1), (2007).
7. M. Hamdaoui and P. Ramanathan: A Dynamic Priority Assignment Technique for Streams with (m,k) -firm Deadlines. *IEEE Trans. Computers*, p. 1443–1451, (1995).
8. G. Buttazzo, M. Velasco, and P. Mart. Quality-of-Control Management in Overloaded Real-Time Systems. *IEEE Transactions on Computers*, 56(2), (2007).
9. P. Marti, J. Yezpez, M. Velasco, R. Villa, and J. M. Fuertes. Managing Quality-of-Control in Network-Based Control Systems by Controller and Message Scheduling Co-Design. *IEEE Trans. on Ind. Electronics*, 51(6), (2004).
10. R. West and Y. Zhang. Dynamic window-constrained scheduling of real-time streams in media servers. *IEEE Trans. on Computers*, 53(6), (2004).